



В.В. Черныш

**ТЕРМОЭДС В L_1 - Δ_1 МОДЕЛИ
ГЕРМАНИЯ ПРИ СИЛЬНОМ
ГИДРОСТАТИЧЕСКОМ
ДАВЛЕНИИ**

В. В. Черныш, Б. Ш. Куамба
(Университет Эдуардо Мондлане, Мапуту,
Мозамбик)



Б.Ш. Куамба

- В условиях сильных упругих гидростатических деформаций имеет место переход электронов из четырех L_1 -долин в шесть эквивалентных Δ_1 -долин и энергетическая структура германия n -типа становится подобной энергетической структуре кремния n -типа. Рассчитаны деформационные потенциалы и числа заполнения долин, а также проанализировано их поведение в зависимости от давления при низких $T = 78K$ и комнатных $T = 300 K$ температурах. Теория анизотропного рассеяния была использована для вычисления термоЭДС. Рассмотрено внутримолекулярное смешанное рассеяние электронов на акустических фононах и ионах примеси, междолинное неэквивалентное рассеяние электронов между L_1 - и Δ_1 -долинами и междолинное эквивалентное f - и g -рассеяние между Δ_1 -долинами.

Введение

Энергетическая структура зоны проводимости германия хорошо известна [1–3]; при атмосферном давлении заполнены электронами четыре наинизшие L_1 -долины зоны проводимости. Однако с увеличением гидростатического давления энергия четырех L_1 -долин растет по отношению ко дну зоны проводимости недеформированного кристалла. Δ_1 -долины имеют отрицательный коэффициент давления и опускаются по шкале энергии [1–3]. Как правило, только четыре L_1 -долины рассматривались в случае недеформированных монокристаллов германия или при наличии относительно небольших деформаций (L_1 -модель германия) [4–6]. При наличии сильных упругих деформаций Δ_1 -долины должны быть включены в рассмотрение ($L_1 - \Delta_1$ -модель германия) [1-3, 7-9, 13, 14]. При определенном давлении P_0 положение двух групп долин становится одинаковым на энергетической шкале. При дальнейшем увеличении давления имеет место инверсия L_1 - и Δ_1 -долин, то есть Δ_1 -долины будут локализованы ниже на энергетической шкале по отношению к L_1 -долинам. При достаточно сильных давлениях практически все свободные электроны будут локализованы в Δ_1 -долинах (Δ_1 -модель германия) и, соответственно, структура зоны проводимости германия становится подобной структуре зоны проводимости кремния при атмосферном давлении. При этих условиях Δ_1 -долины становятся доступными для прямых электрических измерений [2, 3] и, таким образом, теоретическое рассмотрение явлений переноса не является чисто искусственным. В этой работе мы будем стремиться проанализировать термоэлектродвижущую силу при наличии сильного гидростатического давления.

Числа заполнения и химический потенциал

В допущении невырожденности электронного газа равновесное распределение электронов в L_1 - и Δ_1 -долинах может быть представлено [5, 6] как

$$\bar{f}_{\vec{k}}^{(i)} = \exp(\bar{\mu}^* - E_{L_1}^{(i)*} - \epsilon_{\vec{k}}^{(i)*}), \bar{f}_{\vec{k}}^{(j)} = \exp(\bar{\mu}^* - \Delta E_0^* - E_{\Delta_1}^{(j)*} - \epsilon_{\vec{k}}^{(j)*}), \quad (1)$$

здесь $\bar{\mu}^* = \bar{\mu}/kT$ – приведенный химический потенциал в деформированном кристалле, $E_{L_1, \Delta_1}^{(i,j)}$ – приведенный потенциал деформации L_1 - и Δ_1 -долин, $\Delta E_0^* = \Delta E_0/kT$ – приведенное расстояние на энергетической шкале между L_1 - и Δ_1 -минимумами в недеформированном монокристалле.

Полное число электронов в каждой L_1 - и Δ_1 -долине равно соответственно

$$N_{L_1}^{(i)} = \frac{2}{(2\pi)^3} \int \bar{f}_{\vec{k}}^{(i)} d\vec{k} = 2 \frac{(2\pi kT)^{\frac{3}{2}} \left[(m_{\perp}^{L_1})^2 m_{\parallel}^{L_1} \right]^{\frac{1}{2}}}{(2\pi\hbar)^3} \cdot \exp(\bar{\mu}^* - E_{L_1}^{(i)*}),$$

$$N_{\Delta_1}^{(j)} = 2 \frac{(2\pi kT)^{\frac{3}{2}} \left[(m_{\perp}^{\Delta_1})^2 m_{\parallel}^{\Delta_1} \right]^{\frac{1}{2}}}{(2\pi\hbar)^3} \cdot \exp(\bar{\mu}^* - E_{\Delta_1}^{(j)*} - \Delta E_0^*). \quad (2)$$

Легко найти из (2) число электронов в каждой долине недеформированного кристалла N_{L_1, Δ_1}^0 заменой $E_{L_1, \Delta_1}^{(i,j)} = 0$, $\bar{\mu}^* \rightarrow \mu^*$, где μ^* – химический потенциал недеформированного кристалла.

Отметим, что для нахождения деформационных потенциалов, входящих в (1)–(2), необходимо использовать теорию деформационного потенциала для кубических кристаллов [5, 6, 10]. Деформационный потенциал для i -долины, как следует из этой теории, в системе координат, связанной с главными осями тензора масс

$$E_i = C_1(\epsilon_{11}^{(i)} + \epsilon_{22}^{(i)} + \epsilon_{33}^{(i)}) + C_2\epsilon_{33}^{(i)},$$

где $C_1^{(i)}$ и $C_2^{(i)}$ – константы деформационного потенциала, $\epsilon_{ll}^{(i)}$ – компоненты тензора деформации i -долины. Обычно все деформационные потенциалы и, следовательно, все компоненты тензора деформации должны быть выражены в одной и той же лабораторной системе координат, связанной с кристаллографическими осями [100], [010], [001]. Для их нахождения используется закон Гука в форме

$$\epsilon_{ik} = \sum_{l,m} S'_{iklm} U_{lm},$$

где U_{lm} – тензор упругих напряжений, в случае гидростатического давления тензор напряжений имеет три диагональных компоненты, $U_{lm} = P\delta_{lm}$, $P < 0$ соответствует сжатию, S'_{iklm} – тензор упругих податливостей, обычно компоненты этого тензора известны в кристаллографической системе координат [11]. В нашем случае кристаллографическая система координат совпадает с лабораторной.

После преобразования компонент тензора деформации каждой долины к лабораторной системе координат потенциалы деформации приобретают вид

$$E_{L_1}^{(1-4)} = 3\left(C_1^{L_1} + \frac{1}{3}C_2^{L_1}\right)(S_{11} + 2S_{12})P,$$

$$E_{\Delta_1}^{(1-6)} = 3\left(C_1^{\Delta_1} + \frac{1}{3}C_2^{\Delta_1}\right)(S_{11} + 2S_{12})P. \quad (3)$$

Здесь S_{ik} – матричные обозначения Фойгта компонент тензора упругих податливостей: $S_{11} = S_{1111}$; $S_{12} = S_{1122}$. Все деформационные потенциалы для L_1 -долин равны и положительны, потому что $C_1^{L_1} + \frac{1}{3}C_2^{L_1} < 0$ [5], $S_{11} + 2S_{12} > 0$ и $P < 0$ для сжатия. Это означает, что четыре L_1 -долины поднимаются по шкале энергий с ростом давления. В то же время все деформационные потенциалы Δ_1 -долин также равны между собой и должны быть отрицательными и опускаться по шкале энергии с ростом давления согласно [1–3], если $C_1^{\Delta_1} + \frac{1}{3}C_2^{\Delta_1} > 0$.

Используя уравнение электронейтральности для недеформированного ($4N_{L_1}^0 + 6N_{\Delta_1}^0 = N_0$) и для деформированного ($4N_{L_1} + 6N_{\Delta_1} = N_0$) кристалла, легко получить соотношение между химпотенциалом в деформированном ($\bar{\mu}^*$) и в недеформированном (μ^*) кристалле

$$e^{\bar{\mu}^*} = \left[4 + 6 \left(m_N^{\Delta_1} / m_N^{L_1} \right)^{3/2} e^{-\Delta E_0^*} \right] \left[4 + 6 \left(m_N^{\Delta_1} / m_N^{L_1} \right)^{3/2} e^{E_{L_1}^* - E_{\Delta_1}^* - \Delta E_0^*} \right]^{-1} e^{\mu^*}, \quad (4)$$

а также получить выражение для относительного числа электронов в долинах $n_r^{(i)} = N_r^{(i)} / N_0$

$$n_{L_1} = \left\{ 4 + 6 \left(\frac{m_N^{\Delta_1}}{m_N^{L_1}} \right)^{3/2} \cdot \exp \left(E_{L_1}^* - E_{\Delta_1}^* - \Delta E_0^* \right) \right\}^{-1},$$

$$n_{\Delta_1} = \left\{ 4 \left(\frac{m_N^{L_1}}{m_N^{\Delta_1}} \right)^{3/2} \cdot e^{\Delta E_0 + E_{\Delta_1}^* - E_{L_1}^*} + 6 \right\}^{-1}. \quad (5)$$

Здесь $m_N^{L_1, \Delta_1} = \left[\left(m_{\perp}^{L_1, \Delta_1} \right)^2 m_{\parallel}^{L_1, \Delta_1} \right]^{1/3}$ – эффективная масса плотности состояний в L_1 - и Δ_1 -долинах. В недеформированном кристалле $P = 0$, $n_{L_1} = 0.25$, $n_{\Delta_1} \approx 0$. В случае сильного давления $P > P_0$ практически все электроны локализованы в Δ_1 -долинах, $n_{L_1} \approx 0$, $n_{\Delta_1} = 1/6$. При давлении, соответствующем инверсии долин $P = P_0$, все десять долин (L_1 - и Δ_1 -долин) являются энергетически эквивалентными, то есть $E_{L_1} = \Delta E_0 + E_{\Delta_1}$ и из (5) следует, что $n_{L_1} / n_{\Delta_1} = \left(m_N^{L_1} / m_N^{\Delta_1} \right)^{3/2}$. Это означает, что в данном случае в каждой долине будет одинаковое количество электронов только при равенстве их эффективных масс плотности состояний в долине каждого типа.

Из (4) и (5) нетрудно найти явное выражение для химического потенциала в деформированном и в недеформированном кристаллах и записать их в двух разных, но эквивалентных формах:

$$\bar{\mu}^* = \mu^* + E_{L_1}^* + \ln(n_{L_1} / n_0),$$

$$\bar{\mu}^* = \mu^* + E_{\Delta_1}^* + \Delta E_0^* + \ln(n_{\Delta_1} / n_0) + (3/2) \ln(m_N^{L_1} / m_N^{\Delta_1}). \quad (6)$$

Отметим, что $n_0 = \left[4 + 6 \left(m_N^{L_1} / m_N^{\Delta_1} \right)^{3/2} e^{-\Delta E_0^*} \right]^{-1}$.

Химический потенциал недеформированного кристалла может быть найден известными методами.

Диффузионная термоЭДС

Прежде всего кратко остановимся на механизмах рассеяния электронов в нашей модели. Ограничимся рассмотрением процессов рассеяния с участием фононов и ионов примеси в L_1 - и Δ_1 -долинах. В L_1 - и Δ_1 -долинах электроны принимают участие в следующих процессах рассеяния: внутриволинное рассеяние на акустических фононах и ионах примеси и также неэквивалентное междолинное рассеяние между L_1 - и Δ_1 -долинами. К тому же в Δ_1 -долинах электроны принимают участие в эквивалентном междолинном рассеивании между долинами, расположенными на одной оси (g -рассеяние) и в эквивалентном междолинном рассеивании между долинами, расположенными на перпендикулярных осях (f -рассеяние).

Предположим, что все указанные процессы рассеяния могут быть описаны соответствующими временами релаксации и правило Матиссена справедливо в этом случае. Внутридолинное рассеяние на акустических фонах, как и междолинное рассеяние на ионах примеси, может быть описано диагональным тензором времен релаксации с двумя компонентами, который приведен в [4–9]. Междолинное рассеяние электронов обусловлено взаимодействием с акустическими и оптическими фонами с частотами, соответствующими температурам $T_{c1} = 320$ К (неэквивалентное междолинное рассеяние между L_1 - и Δ_1 -долинами и эквивалентное междолинное f -рассеяние), $T_{c2} = 430$ К и $T_{c3} = 100$ К (эквивалентное междолинное g -рассеяние) может быть описано скалярным временем релаксации [1, 4–9, 12], которое мы обобщим, принимая во внимание кинетику долин при наличии большого гидростатического давления. Все кинетические интегралы имеют такую же аналитическую форму, как и в [8].

Как известно [4–6], тензор термоЭДС определяется соотношением

$$\alpha_{ik} = \rho_{il} b_{lk}. \quad (7)$$

Прежде всего рассмотрим тензор удельного сопротивления. Для его определения сначала рассмотрим тензор удельной электропроводности. Для монокристаллов германия в случае гидростатического давления он может быть вычислен следующим образом:

$$\sigma_{ik} = \sum_{r=1}^4 \sigma_{ik}^{(r)L} + \sum_{r=1}^6 \sigma_{ik}^{(r)\Delta}. \quad (8)$$

В этом выражении $\sigma_{ik}^{(r)L,\Delta}$ – компоненты тензора электропроводности для L_1 - и Δ_1 -долин, записанные в лабораторной системе координат. В главных осях тензора масс i -долины тензор удельной электропроводности этой долины имеет две отличные от нуля компоненты [5-8], которые после усреднения по энергии имеют следующий вид:

$$\sigma_{11=22,33}^{(i)} = \sigma_{\perp,\parallel}^{(i)} = \frac{4}{3\sqrt{\pi}} \frac{N'_0 e^2}{T\sqrt{kT}} \frac{a_{\perp,\parallel}^{(i)}}{m_{\perp,\parallel}^{(i)}} J_{\perp,\parallel}^{(i)}(3). \quad (9)$$

(Все обозначения такие же, как в (8)). Тензор удельной электропроводности кристалла находится, как обычно, преобразованием компонент тензора электропроводности каждой долины к лабораторной системе координат, суммируя, в добавление, по всем L_1 - и Δ_1 -долинам, используя (8). В результате несложных вычислений получим

$$\sigma_{\alpha\beta} = \frac{8}{9\sqrt{\pi}} \cdot \frac{N'_0 e^2}{T\sqrt{kT}} \cdot \left\{ 2n_{L_1} \left(2 \frac{a_{\perp}^{L_1}}{a_{\parallel}^{L_1}} J_{\perp}^{L_1} + \frac{a_{\parallel}^{L_1}}{m_{\parallel}^{L_1}} J_{\parallel}^{L_1} \right) + 3n_{\Delta_1} \left(2 \frac{a_{\perp}^{\Delta_1}}{m_{\perp}^{\Delta_1}} J_{\perp}^{\Delta_1} + \frac{a_{\parallel}^{\Delta_1}}{m_{\parallel}^{\Delta_1}} J_{\parallel}^{\Delta_1} \right) \right\} \delta_{\alpha\beta}. \quad (10)$$

Последнюю формулу можем переписать в компактной форме, вводя эффективный параметр анизотропии рассеяния

$$K_{L_1,\Delta_1} = \frac{m_{\parallel}^{L_1,\Delta_1} a_{\perp}^{L_1,\Delta_1}}{m_{\perp}^{L_1,\Delta_1} a_{\parallel}^{L_1,\Delta_1}} \cdot \frac{J_{\perp}^{L_1,\Delta_1}(3)}{J_{\parallel}^{L_1,\Delta_1}(3)} = K_a^{L_1,\Delta_1} \cdot \frac{J_{\perp}^{L_1,\Delta_1}(3)}{J_{\parallel}^{L_1,\Delta_1}(3)}, \quad (11)$$

принимая во внимание (9). В этом случае

$$\sigma_{\alpha\beta} = \left\{ 4n_{L_1} \sigma_{\perp}^{L_1} \frac{2K_{L_1} + 1}{3K_{L_1}} + 6n_{\Delta_1} \sigma_{\perp}^{\Delta_1} \frac{2K_{\Delta_1} + 1}{3K_{\Delta_1}} \right\} \delta_{\alpha\beta}. \quad (12)$$

Из экспериментов с чистыми кристаллами известно, что при низких температурах $T=78$ К $K_{L_1} = 16.4$ и $K_{\Delta_1} = 4.4$ [5, 13, 14].

Как хорошо известно, гидростатическое давление не изменяет симметрию кристалла и в кубических кристаллах тензор электропроводности вырождается в скаляр. Этот факт отражен последней формулой. Очевидно, что компоненты тензора электросопротивления могут быть вычислены согласно формулы

$$\rho_{ii} = 1/\sigma_{ii} . \quad (13)$$

Отметим, что зависимость от давления в (10), (12) входит через числа заполнения и интегралы, где время релаксации междолинного неэквивалентного рассеяния зависит от давления.

Для отдельно взятой « i »-долины при наличии деформации симметрия тензора $b_{ik}^{(i)}$ совпадает с симметрией тензора $\sigma_{ik}^{(i)}$, поскольку, согласно [6]

$$b_{ik}^{e,(i)} = -\left\langle \sigma_{ik}^{(i)}(\bar{x}, P) \cdot \alpha^{e,(i)}(\bar{x}, P) \right\rangle . \quad (14)$$

Здесь $\sigma_{ik}^{(i)}(\bar{x}, P)$ – электропроводность « i »-долины обусловлена группой электронов с приведенной энергией \bar{x} , скаляр $\alpha^{e,(i)}(\bar{x}, P)$ – электронная термоЭДС « i »-долины, обусловленная диффузией группы электронов с приведенной энергией \bar{x} при наличии деформации [6]: $\alpha^{e,(i)}(\bar{x}, P) = (k/e)(\bar{x} - \bar{\mu}^*)$.

Компоненты тензора $b_{ik}^{(i)}$ « i »-долины после усреднения по энергии принимают следующий вид:

$$b_{11=22,33}^{e,(i)} = b_{\perp,\parallel}^{e,(i)} = -\frac{k}{e} \frac{4}{3\sqrt{\pi}} \frac{N_0' e^2}{T\sqrt{kT}} n_i \frac{a_{\perp,\parallel}^{(i)}}{m_{\perp,\parallel}^{(i)}} \left[J_{\perp,\parallel}^{(i)}(4) - \bar{\mu}^* J_{\perp,\parallel}^{(i)}(3) \right] . \quad (15)$$

Если используем эффективный параметр анизотропии (14) и введем обозначение $\xi_{\perp,\parallel}^{(i)} = J_{\perp,\parallel}^{(i)}(4)/J_{\perp,\parallel}^{(i)}(3)$, выражение (15) приобретает форму

$$b_{\perp}^{e,(i)} = -\frac{k}{e} n_i \sigma_{\perp}^{(i)} (\xi_{\perp}^{(i)} - \bar{\mu}^*), \quad b_{\parallel}^{e,(i)} = -\frac{k}{e} n_i \sigma_{\parallel}^{(i)} \frac{1}{K_i} (\xi_{\parallel}^{(i)} - \bar{\mu}^*) . \quad (16)$$

После преобразования компонент тензора $b_{\perp,\parallel}^{e,(i)}$ каждой долины к лабораторной системе координат и суммирования по всем группам эквивалентных долин для тензора b_{ik}^e получим

$$b_{11}^e = b_{22}^e = b_{33}^e = \frac{4}{3} (2b_{\perp}^{L_1} + b_{\parallel}^{L_1}) + 2(2b_{\perp}^{\Delta_1} + b_{\parallel}^{\Delta_1}) . \quad (17)$$

Принимая во внимание (11), (16) и вводя обозначение

$$r_{L_1, \Delta_1} = \frac{J_{\parallel}^{L_1, \Delta_1}(4) J_{\perp}^{L_1, \Delta_1}(3)}{J_{\perp}^{L_1, \Delta_1}(4) J_{\parallel}^{L_1, \Delta_1}(3)} ,$$

преобразуем выражение (17) в такой вид:

$$b_{ii}^{(e)} = -\frac{k}{e} \left[4n_{L_1} \sigma_{\perp}^{L_1} \left(\xi_{\perp}^{L_1} \frac{2K_{L_1} + r_{L_1}}{3K_{L_1}} - \bar{\mu}^* \frac{2K_{L_1} + 1}{3K_{L_1}} \right) + 6n_{\Delta_1} \sigma_{\perp}^{\Delta_1} \left(\xi_{\perp}^{\Delta_1} \frac{2K_{\Delta_1} + r_{\Delta_1}}{3K_{\Delta_1}} - \bar{\mu}^* \frac{2K_{\Delta_1} + 1}{3K_{\Delta_1}} \right) \right] \delta_{ii} . \quad (18)$$

Очевидно, что термоЭДС также будет скалярной величиной.

Диффузионную термоЭДС в явном виде можем получить, используя (7), (12) и (13). Окончательно получаем

$$\alpha_{ii}^{(e)} = \frac{k}{e} \frac{4n_{L_1} \sigma_{\perp}^{L_1} \left(\xi_{\perp}^{L_1} \frac{2K_{L_1} + r_{L_1}}{3K_{L_1}} - \bar{\mu}^* \frac{2K_{L_1} + 1}{3K_{L_1}} \right) + 6n_{\Delta_1} \sigma_{\perp}^{\Delta_1} \left(\xi_{\perp}^{\Delta_1} \frac{2K_{\Delta_1} + r_{\Delta_1}}{3K_{\Delta_1}} - \bar{\mu}^* \frac{2K_{\Delta_1} + 1}{3K_{\Delta_1}} \right)}{4n_{L_1} \sigma_{\perp}^{L_1} \frac{2K_{L_1} + 1}{3K_{L_1}} + 6n_{\Delta_1} \sigma_{\perp}^{\Delta_1} \frac{2K_{\Delta_1} + 1}{3K_{\Delta_1}}} \delta_{ii} . \quad (19)$$

В случае недеформированного кристалла $n_{\Delta_1} \approx 0$ и из последнего выражения следует

$$\alpha_{ii}^{(e)} = \frac{k}{e} \left(\xi_{\perp}^{L_1} \frac{2K_{L_1} + r_{L_1}}{2K_{L_1} + 1} - \bar{\mu}^* \right) \delta_{ii} . \quad (20)$$

При наличии только акустического рассеяния формула (20) дает $\alpha_{ii}^{(e)} = \frac{k}{e} (2 - \bar{\mu}^*) \delta_{ii}$.

В случае сильной деформации после инверсии долин практически все электроны будут локализованы в Δ_1 -долинах ($n_{L_1} \approx 0, n_{\Delta_1} = 1/6$) и формула (20) будет справедлива с заменой индексов $L_1 \rightarrow \Delta_1$.

ТермоЭДС увлечения

Известно [4, 6, 8], что компоненты кинетического тензора $b_{ik}^{f,(i)}$ « i »-долины, обусловленные увлечением фононами электронов, могут быть определены как

$$b_{ik}^{f,(i)} = -\langle \sigma_{il}^{(i)}(x) \alpha_{lk}^{f,(i)}(x) \rangle. \quad (21)$$

Здесь $\alpha_{lk}^{f,(i)}(x)$ – тензор термоЭДС увлечения, обусловленной увлечением группы электронов с приведенной энергией x длинноволновыми фононами всех поляризацій. Как показано в [6], для двухосной изоэнергетической поверхности тензор $\alpha_{lk}^{f,(i)}(x)$ должен иметь симметрию минимума, то есть тензор $\alpha_{lk}^{f,(i)}(x)$ имеет две независимых компоненты:

$$\alpha_{\perp}^f(x) = (k/e) f_{\perp}(x), \quad \alpha_{\parallel}^f(x) = (k/e) (m_{\parallel} / m_{\perp}) f_{\parallel}(x), \quad (22)$$

$$f_{\perp}(x) = \sum_j A_{n_j} \beta_{n_j} x^{n_j-1/2} I_{\perp, n_j}, \quad f_{\parallel}(x) = \sum_j A_{n_j} \beta_{n_j} x^{n_j-1/2} I_{\parallel, n_j}. \quad (23)$$

В приведенных выше выражениях суммирование производится по поляризациям фононов, A_{n_j} – константы, определяемые путем сравнения экспериментальных данных и теоретических расчетов (метод получения их описан в [15, 16]), константы β_{n_j} и интегралы I_{\perp, n_j} зависят от характеристик энергетических долин кристалла в целом и приведены в явной форме в [6], параметр n_j был найден в [14, 15] и для германия $n_j = 0.25, n_j = 0.5$.

Вводя обозначения

$$\alpha_{\perp, L_1, \Delta_1}^{(j)}(T) = (k/e) A_{n_j} \beta_{n_j, L_1, \Delta_1} I_{\perp, n_j}^{L_1, \Delta_1}, \quad (24)$$

$$\alpha_{\parallel, L_1, \Delta_1}^{(j)}(T) = (k/e) (m_{\parallel}^{L_1, \Delta_1} / m_{\perp}^{L_1, \Delta_1}) A_{n_j} \beta_{n_j, L_1, \Delta_1} I_{\parallel, n_j}^{L_1, \Delta_1} \quad (25)$$

и проводя усреднение по энергиям электронов, для компонент кинетического тензора одной долины в системе координат, связанной с главными осями тензора масс, имеем

$$b_{11,33}^{f,(i)} = b_{\perp, \parallel}^{f,(i)} = \frac{4}{3\sqrt{\pi}} \frac{N'_0 e^2}{T \sqrt{kT}} n_i \frac{\alpha_{\perp, \parallel}^{(i)}}{m_{\perp, \parallel}^{(i)}} \alpha_{\perp, \parallel}^{(j,i)}(T) J_{\perp, \parallel}^{(i)}(5/2 + n_j). \quad (26)$$

Для L_1 - и Δ_1 -долин в соответствующих множителях будут введены индексы, указывающие тип долины.

После преобразования компонент $b_{\perp, \parallel}^{f,(i)}$ кинетического тензора каждой долины к лабораторной системе координат и суммирования по всем группам эквивалентных долин не трудно получить выражение для компонент кинетического тензора кристалла. Для упрощения полученного выражения удобно использовать следующие обозначения:

$$\alpha_{\perp, \parallel}^f = \sum_j \alpha_{\perp, \parallel}^{(j)}(T) \frac{J_{\perp, \parallel}(5/2 + n_j)}{J_{\perp, \parallel}(3)}, \quad \bar{M} = \frac{\alpha_{\parallel}^f}{\alpha_{\perp}^f}, \quad (27)$$

где $\alpha_{\perp,\parallel}^f$ – поперечная или продольная компоненты тензора термоЭДС увлечения, обусловленной увлечением электронов, принадлежащих одной долине, \bar{M} – усредненный параметр анизотропии термоЭДС увлечения.

Подчеркнем, что в приведенных выше выражениях все величины связаны с определенной группой долин (L_1 или Δ_1) и в дальнейшем будут указаны соответствующие индексы.

Используя (12) для компонент кинетического тензора кристалла в лабораторной системе координат, можно получить следующее выражение:

$$b_{11}^f = b_{33}^f = 4n_{L_1} \sigma_{\perp}^{L_1} \alpha_{\perp,L_1}^f \frac{2K_{L_1} + \bar{M}_{L_1}}{3K_{L_1}} + 6n_{\Delta_1} \sigma_{\perp}^{\Delta_1} \alpha_{\perp,\Delta_1}^f \frac{2K_{\Delta_1} + \bar{M}_{\Delta_1}}{3K_{\Delta_1}}. \quad (28)$$

Нетрудно получить аналитическое выражение для тензора термоЭДС увлечения, принимая во внимание все L_1 - и Δ_1 -долины, так как $\alpha_{ii}^f = b_{ii}^f / \sigma_{ii}$,

$$\alpha_{ii}^f = \frac{4n_{L_1} \sigma_{\perp}^{L_1} \alpha_{\perp,L_1}^f \frac{2K_{L_1} + \bar{M}_{L_1}}{3K_{L_1}} + 6n_{\Delta_1} \sigma_{\perp}^{\Delta_1} \alpha_{\perp,\Delta_1}^f \frac{2K_{\Delta_1} + \bar{M}_{\Delta_1}}{3K_{\Delta_1}}}{4n_{L_1} \sigma_{\perp}^{L_1} \frac{2K_{L_1} + 1}{3K_{L_1}} + 6n_{\Delta_1} \sigma_{\perp}^{\Delta_1} \frac{2K_{\Delta_1} + 1}{3K_{\Delta_1}}} \delta_{ii}, \quad (29)$$

то есть α^f , так же как и α^e , вырождается в скаляр вследствие кубической симметрии кристалла.

Соотношение (29) позволяет легко рассмотреть ряд частных случаев.

Для недеформированного кристалла вкладом Δ_1 -долин можно пренебречь (это очевидно) и можно получить хорошо известную формулу для термоЭДС увлечения недеформированного кристалла n - Ge :

$$\alpha_{11}^f = \alpha_{33}^f = \alpha_{\perp,L_1}^f \frac{2K_{L_1} + \bar{M}_{L_1}}{2K_{L_1} + 1}. \quad (30)$$

В случае сильной деформации (после инверсии долин) практически все электроны локализованы в Δ_1 -долинах ($n_{L_1} \approx 0$, $n_{\Delta_1} = 1/6$) и формула (30) справедлива при замене индексов $L_1 \rightarrow \Delta_1$.

Численные результаты

Для проведения вычислений необходимо знать ряд параметров кристалла наряду с параметрами L_1 - и Δ_1 -долин. Все параметры, используемые для описания внутримолинового рассеяния в L_1 -долинах, хорошо известны [4–6]. Параметры, необходимые для описания межмолинового рассеяния, приведены в [1–3, 8, 9]. Разные значения эффективных масс и постоянных деформационного потенциала для Δ_1 -долин были оценены в [1–3, 9, 13, 14]. К сожалению, отсутствуют экспериментальные данные по термоЭДС в случае сильных упругих деформаций. По этой причине были использованы значения эффективных масс и постоянных деформационного потенциала из [9], поскольку эти значения дают качественное совпадение с экспериментальными результатами для пьезосопротивления при сильном гидростатическом давлении. Таким образом, мы использовали такие значения эффективных масс в Δ_1 -долинах: $m_{\perp}^{\Delta_1} / m_0 = 0.225$, $m_{\parallel}^{\Delta_1} / m_0 = 0.612$ и констант потенциала деформации: $C_1^{\Delta_1} = 0.1$ эВ, $C_2^{\Delta_1} = 12.0$ эВ. Мы также использовали значения $C_1^{\Delta_1} = 0.18$ эВ и $C_2^{\Delta_1} = 8.636$ эВ, потому что они описывают количественно инверсию L_1 - и Δ_1 -долин. На рисунках, приведенных ниже, сплошные линии соответствуют первой паре констант и штриховые – второй паре констант. Были использованы

значения упругих констант из [17]. Приведем результаты расчета диффузионной термоЭДС и термоЭДС увлечения, используя эти и другие параметры и константы из [5, 6, 18]. На рисунках, приведенных ниже, показаны результаты вычислений для деформационных потенциалов, чисел заполнения, диффузионной термоЭДС и термоЭДС увлечения для двух температур $T = 78$ К и $T = 300$ К. Концентрация электронов $N_0' = 4.7 \cdot 10^{13} \text{ см}^{-3}$.

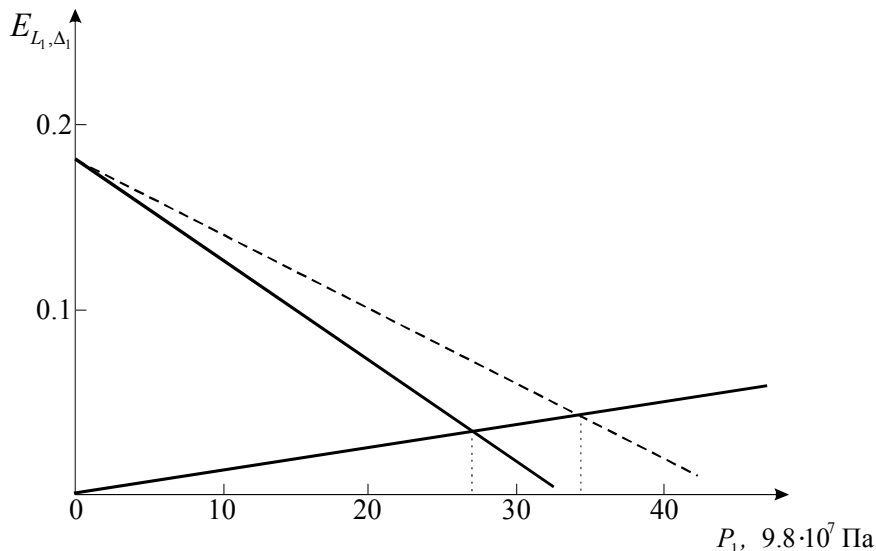


Рис. 1. Деформационные потенциалы в зависимости от P . $T = 300$ К.

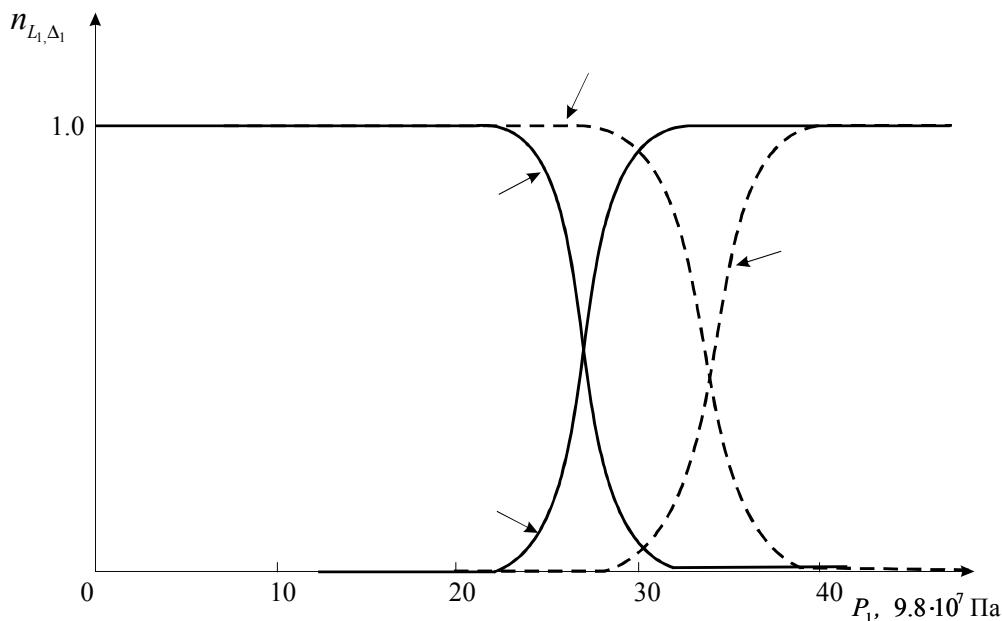


Рис. 2. Числа заполнения для L_1 - и Δ_1 -долин в зависимости от P . $T = 78$ К.

Деформационные потенциалы зависят от температуры только через зависимость компонент тензора упругих податливостей от температуры. Эти зависимости слабые и на рис. 1 приведены только для $T = 300$ К. Давление P_0' соответствует экспериментально наблюдаемой инверсии долин [3].

Результаты численного расчета диффузионной термоЭДС в зависимости от приложенного гидростатического давления показаны на рис. 4, 5. Значения диффузионной термоЭДС в недеформированном кристалле при указанных температурах соответствуют

$\alpha^e(0;78\text{K})=1074$ мкВ/К и $\alpha^e(0;300\text{K})=1234$ мкВ/К. Существование максимума (рис. 3, 4) объяснено в [8] для одноосного сжатия и в этом случае также справедливо.

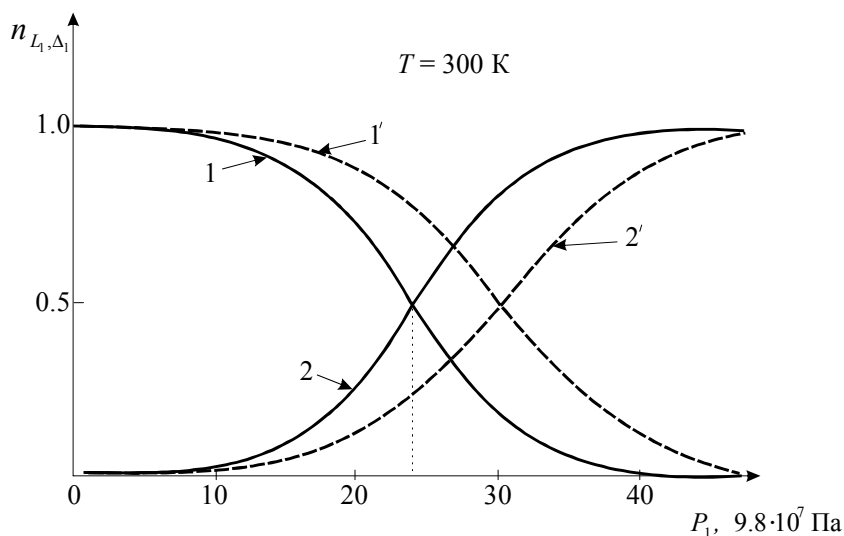


Рис. 3. Числа заполнения для L_1 - и Δ_1 -долин в зависимости от P . $T = 300$ К.

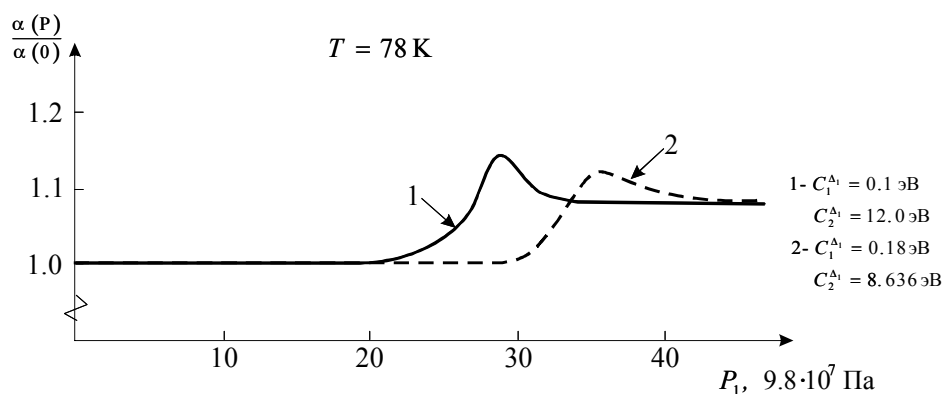


Рис. 4.

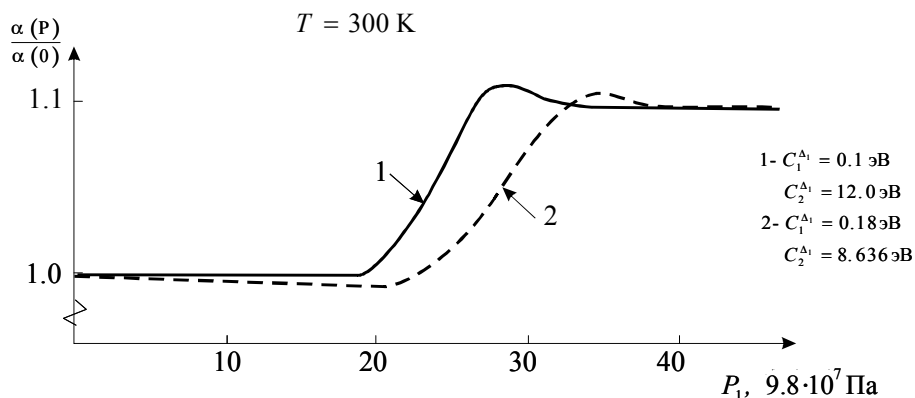


Рис. 5.

Изменение диффузионной термоЭДС с давлением P , $T = 78$ К (рис.4), $T = 300$ К (рис.5).

Все параметры, необходимые для расчета термоЭДС увлечения, выбраны, как и в [8]. На рис. 6, 7 приведены результаты численного расчета термоЭДС увлечения в $L_1 - \Delta_1$ модели германия при сильном гидростатическом давлении.

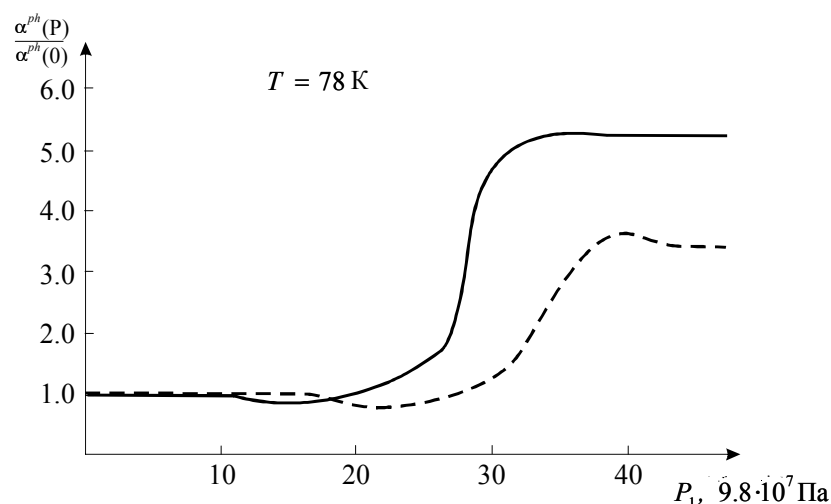


Рис. 6.

Поведение зависимостей подобно поведению пьезосопротивления в этой модели [1–3]. Очевидно, что в области высоких температур ($T = 300$ К) переход электронов между L_1 - и Δ_1 -долинами начинается при меньших значениях P и, таким образом, интервал перехода между L_1 - и Δ_1 -долинами становится более размытым.

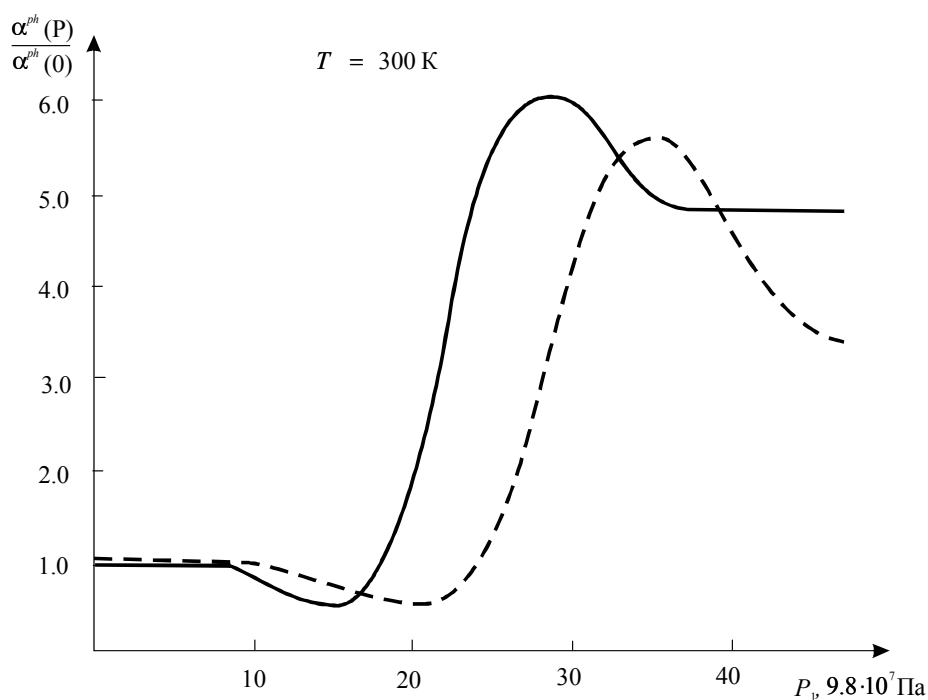


Рис. 7.

Изменение фоновой термоЭДС с давлением P . $T=78$ К (рис. 6), $T=300$ К, $\alpha^{ph}(0; 78 \text{ К}) \approx 1000$ мкВ/К, $\alpha^{ph}(0; 300 \text{ К}) \approx 6.0$ мкВ/К. Сплошная линия соответствует $C_1^{\Delta_1} = 0.1$ эВ, $C_2^{\Delta_1} = 12.0$ эВ, штриховая линия соответствует $C_1^{\Delta_1} = 0.18$ эВ, $C_2^{\Delta_1} = 8.636$ эВ.

В заключение авторы выражают искреннюю благодарность проф. Баранскому П. И. (Институт физики полупроводников Национальной академии наук Украины) и проф. Бурдейному В.П. (Департамент физики Университета Эдуардо Мондлане) за полезные советы и обсуждение.

Авторы также искренне благодарны за финансовую поддержку шведскому агентству SIDA/SAREC и исследовательской группе по возобновляемым источникам энергии Университета Эдуардо Мондлане в Мапуту, Мозамбик.

Литература

1. Fawcett W., Paige E.G.S. Negative differential mobility of electrons in germanium // J. Phys. C: Solid St. Phys. – 1971. – Vol.4. – P. 1801.
2. Fletcher K. and Pitt G.D. Intervalley scattering in n type Ge from a Hall effect experiment to high pressures // J. Phys. C: Solid State Phys. – 1971. – V.4. – P.1822.
3. Ahmad C.N., Adams A.R. and Pitt G.D. Temperature dependence of the electron mobility in the Δ_{1c} minima of Germanium // J. Phys. C: Sol. State Phys. – 1979. – V.12, N 10. – P L379.
4. Самойлович А.Г., Буда И.С., Даховский И.В. Теория анизотропного рассеяния // ФТП. – 1973. – Т.7. – №4. – С.859.
5. Баранский П. И., Буда И. С., Даховский И. В., Коломоец В. В. Электрические и гальваномагнитные явления в анизотропных полупроводниках. – К.: Наук. думка, 1977, 270 с.
6. Баранский П. И., Буда И. С., Даховский И. В. Теория термоэлектрических и термомагнитных явлений в анизотропных полупроводниках. – К.: Наук. думка, 1987. – 272 с.
7. Черныш В.В., Самойлович А.Г. и исследование явлений переноса в упруго деформированном германии // Термоэлектричество. – 2006. – №3. – С.14.
8. Черныш В. В., Куамба Б. Ш. ТермоЭДС в L_1 – Δ_1 -модели германия // Термоэлектричество. – 2007. – № 3. – С.29.
9. Chernysh V., Burdeynyy V., Tomo F. Peculiarity of Piezoresistance in L_1 - Δ_1 Model of Germanium // Proceedings of SPIE (USA). – 2001. – V.4425. – P. 362.
10. Herring C. Transport properties of many-valley semiconductors // Bell System Techn. J. – 1956. – V.34. – №1. – P.237.
11. Nye J.P. Physical properties of crystals. – Oxford at the Clarendon press, 1964. – 322 p.
12. Москалюк В.О. Фізика електронних процесів. – К.: Політехніка, 2004. – 180 с.
13. Баранский П. И., Коломоец В. В., Федосов А. В. Пьезосопротивление, возникающее в условиях симметричной ориентации оси деформации по отношению ко всем изоэнергетическим эллипсоидам // ФТП. – 1979. – Т.13, №10. – С. 815.
14. Баранский П. И., Коломоец В.В., Сусь Б.А., Шаповалов В.П. Некоторые характеристики энергетических минимумов $\langle 100 \rangle$ типа в n -Ge // ФТП. – 1979. – Т.13, №3. – С. 602.
15. Черныш В. В. Анизотропия пьезотермомагнитных явлений в области эффекта увлечения. Автореф. Дис. ...канд.физ.-мат. наук., Черновцы, 1977. – 20 с.
16. Баранский П. И., Буда И. С., Коломоец В. В., Самойлович А. Г., Сусь Б. А., Черныш В. В. Фонон-фононная релаксация при эффектах увлечения в n -Ge // ФТП. – 1975. – Т.9, № 9. – С.1680.
17. McSkimin H.J. and Andreatch P. Elastic Moduli of Germanium Versus Hydrostatic Pressure at 25 °C and –195.8 °C // J.Applied Phys. – 1963. – V. 34. – № 3. – P. 651.
18. Баранский П. И., Ключков В. П., Потыкевич И. В. Полупроводниковая электроника. – К.: Наук. думка, 1975. – 704 с.

Поступила в редакцию 10.02.09.